

大阪大学工学部 正員 ○村岡 浩 嗣
同 大学院 学生員 中山 茂 雄

はしがき: submerged jet については Tollmien, Kuethle による拡散理論, Rouse による次元的研究などを中心として多くの実験がある。また壁面に衝突する jet についても, 岩崎, 千秋諸氏ら。および Rouse を中心とするグループによる研究があるが, 自由水表面に噴射する jet については数少ない。この場合水面では hump 状の水位上昇が生じ, 強い擾乱を伴って放散し, 流線の拡散機構は傾斜の場, かつ非静水圧の場で考えねばならず理論的解明は容易でない。筆者の一人は以前に発電水力の実験で draft から basin に至る流束によって水面および拡散機構に同様の複雑性を観測したので, ここに基礎的に鉛直上向き噴流の実験考察を進めたものである。

1. 実験装置: 三次元噴流を扱うものとして水槽は図-1 に示すごとく, 1m² かく

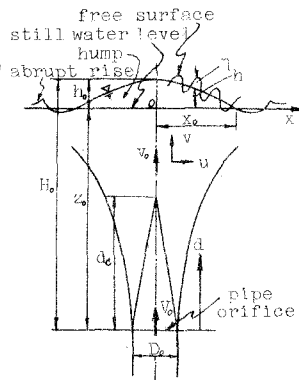


図-2 記号の説明図

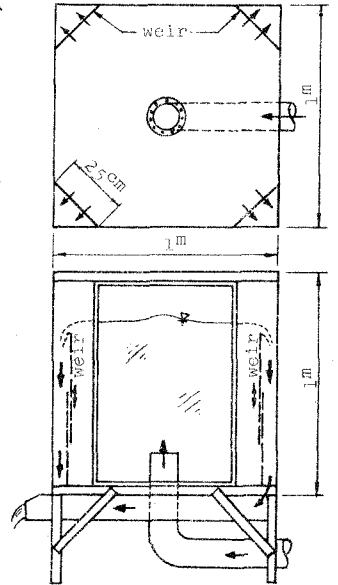


図-1 実験装置

のものを使用する。流水が周辺に放散するよう, 水槽の四隅に上下方向に可動な堰を設けそれより排水する。pipe orifice の径は 12.44, 7.80, 2.80 cm の3種とし, それと各種水深との組合せによって理想噴流の A, B, C 領域¹⁾に相当するかぶり水深を得ることが出来る。水位観測は抵抗線式水位計, 流速は内径 1mm の注射針によるピトー管で測定した。なお, 以下の説明に用いる諸元の記号を図-2 に示す。

2. 平均水面形: 噴流によって水面に生ずる水位上昇, 水面擾乱現象を次元的に考察すれば, 関係する要素は代表的な長さの外に, 流入流速: V_0 , 流体密度: ρ , 重力加速度: g , であろう。すなわち

$$f(\rho, V_0, x, z_0, D_0, V_0, \rho, g) = 0 \quad (1)$$

で表現出来る。 V_0 の代りに流入する物理量として

$$\left. \begin{aligned} Q_0 &= \rho(\pi D_0^2/4) V_0 && \text{volume flux} \\ M_0 &= \rho(\pi D_0^2/4) V_0^2 && \text{momentum flux} \\ E_0 &= \rho(\pi D_0^2/4) V_0^3 && \text{energy flux} \end{aligned} \right\} (2)$$

などが考えられるが, これによって ρ および g は次元解析により形式上(3)(4)式によって表わすことが出来る。すなわち

$$\rho/z_0 \text{ 或 } \eta/z_0 = \varphi_1(x/D_0, M_0/\rho g z_0^3) \quad (3)$$

$$= \varphi_2(x/D_0, E_0/\rho g z_0^3 \sqrt{g z_0}) \quad (4)$$

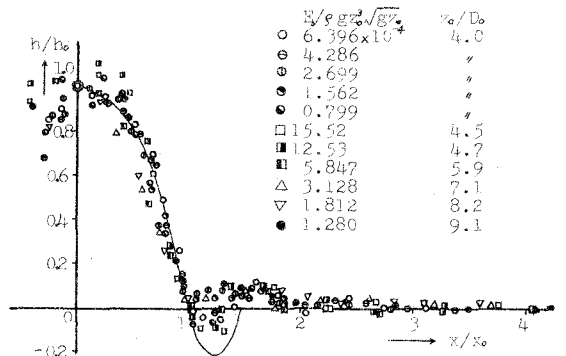


図-3 平均水面形 (曲線は B. Hunt, S.T. Hsu の実験による)

水位上昇は potential energy の貯えであるから (4) 式で整理するのが妥当である。図-3 は平均水位上昇量の測定値である。ここに x_0 は中心線 ($x=0$) から水面形が静水面をきる点までの距離を指す。測定値で静水面をきるものは水面形の延長線と静水面の交点より x_0 を定義する。個々の data は記録波形の 10 秒間 (時間間隔 1/10 秒, data 数 100) の平均である。図-3 より平均水面形はほぼ幾何学的に相似と云える。水面の hump は Mo または E_0 の大きいとき不安定なもので、その peak と end に data のばらつきが多い。図中の曲線は

$E_0/sgz_0^2\sqrt{gz_0}$	z_0/D_0
○ 6.396	4.0
○ 4.286	"
○ 2.699	"
● 1.562	"
○ 0.799	"
□ 15.52	4.5
□ 12.53	4.7
■ 5.847	5.9
△ 3.127	7.1
▽ 1.812	8.2
● 1.280	9.1

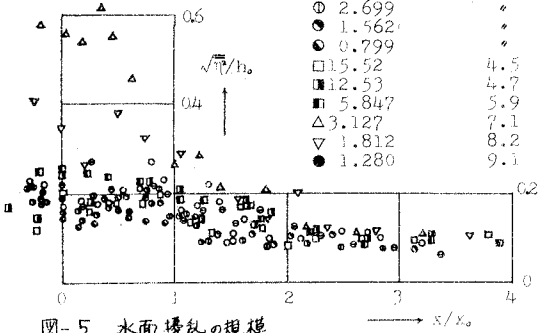


図-5 水面擾乱の規模

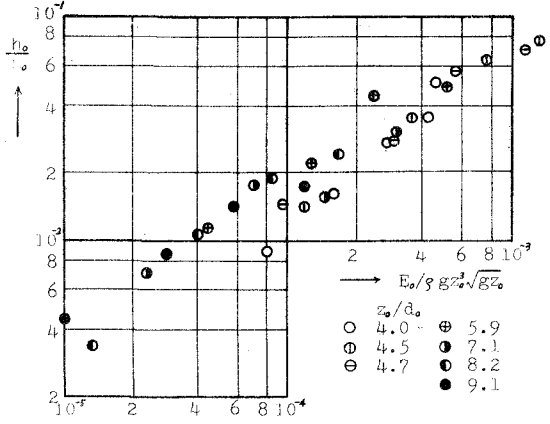


図-4 最大水位上昇量

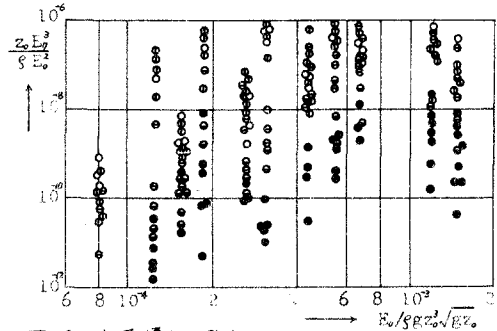


図-6 水面擾乱の強さ

B. Hunt らの実験²³⁾であり、筆者らの実験値ともよく一致しているが、depression の部分は abrupt rise の前進後退が著しく、記録波形を平均化してみるとそれ程顕著に現われなかった。図-4 は hump の peak 値 h_0 について整理したもので、 Mo または E_0 が大きいほど、また z_0 が小さいほど h_0 は大きい。

3. 水面擾乱: 水面上昇は擾乱を伴う。前節と同様 10 秒間の記録波形から z_0 の root mean square $\sqrt{z_0^2}$ を算出し h_0 との比を場地的に示したのが図-5 である。 $\sqrt{z_0^2}$ は擾乱の有効波高を意味するものであるが、これは中心部で h_0 の 2 割前後であり x 方向への減衰度は小さい。ただ、 z_0 が大きくなると見かけ上、水位上昇より擾乱が目立ち従って $\sqrt{z_0^2}/h_0$ も大きくなるが $\sqrt{z_0^2}$ の絶対量は小さい。擾乱の単位面積当たりの potential energy は

$$E_0 = \rho g \overline{z^2} / 2 \quad (5)$$

で表わされるので、これを用いて次元解析すれば

$$z_0 E_0^3 / \rho E_0^3 = f_3(x/D_0, z_0/D_0, E_0 / \rho g z_0^2 \sqrt{gz_0}) \quad (6)$$

となり、この整理によって擾乱の強さの場地的分布をみたのが図-6 である。これによると擾乱は hump の中央付近よりむしろ

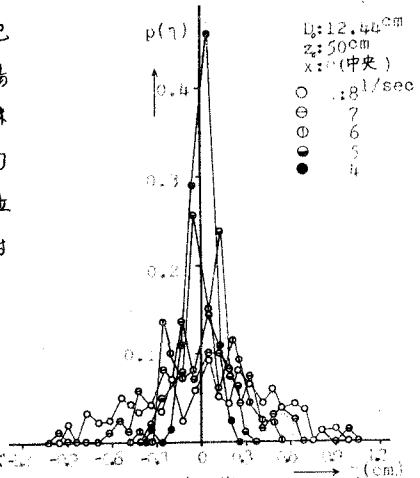


図-7 擾乱波高分布曲線 (流量変化による対比)

る水面傾斜の大きい部分で大きいことがわかる。図-7、図-8は擾乱波の波高分布曲線の一例である。流量が大きいとき波高分布は平均値の近くに集中し、逆に小さいときは分散が大きいこと、そして水面擾乱域で場所的にその傾向が変わらないことがわかる。

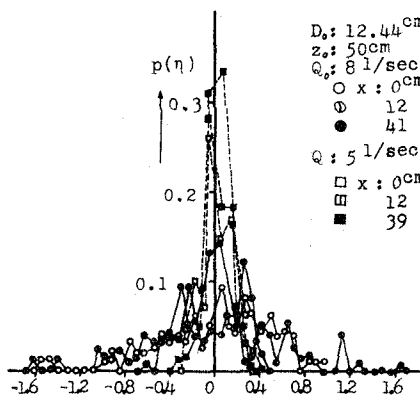
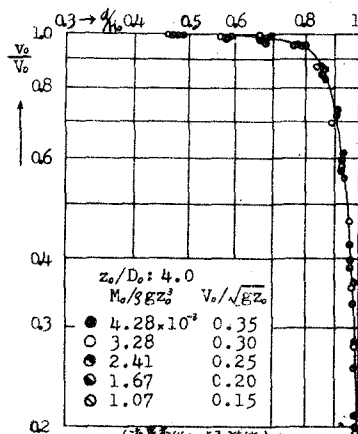


図-8 擾乱波高分布曲線 (測定位置による対比)

$D_0: 12.44 \text{ cm}$
 $z_0: 50 \text{ cm}$
 $Q_0: 8 \text{ l/sec}$
 $Q: 5 \text{ l/sec}$

○ $x: 0 \text{ cm}$
 ● 12
 ● 41
 □ $x: 0 \text{ cm}$
 □ 12
 ■ 39



(流量変化による対比)

図-9 中心線に沿う流速変化

4. 噴流中心線の鉛直方向流速: H. Rouse によれば、理想噴流の中心線流速は

$$\begin{cases} v_0 = V_0(A \text{ 領域}), v_0 = V_0 D_0 / 2Cd (C \text{ 領域}) \\ \text{すなわち } C = D_0 / 2dc \end{cases} \quad (7)$$

で表わされる。水面に向う jet では水面で $v_0 = 0$ であるから、(7) 式では表わされない。図-9は $H_0/D_0 = 4.0$ (理想噴流では A 領域先端付近に相当) とした場合の v_0 の実測値である。これによると、かぶり水深の 6~7 割まで流速は一一定、以後水面に至る部分で減衰しており、その傾向は流入量に依存していないことがわかる。更に図-10は $H_0/D_0 = 1.8 \sim 8.8$ (A~C 領域) による場合の v_0 の変化を表わしたもので、どの場合も $v_0 = V_0$ (一定) の領域が存在して、これより理想噴流の core が水面に存在して縮小される状態 (以下これを縮小 core と呼ぶ) になると想像される。縮小 core の先端位置を明確にするため v_0 を d/H_0 で整理すると図-11となる。A 領域では H_0/D_0 の増加につれて縮小 core 長: dc と H_0 との比が A, B 領域の境目境界として B 領域では dc/H_0 が減少しているのは興味深い。

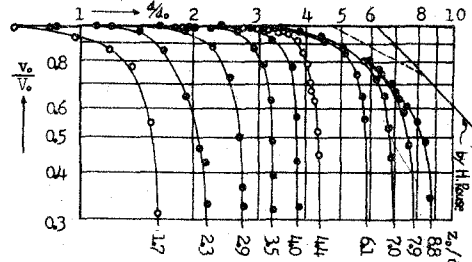


図-10 中心線に沿う流速変化 (v_0 の変化による対比)

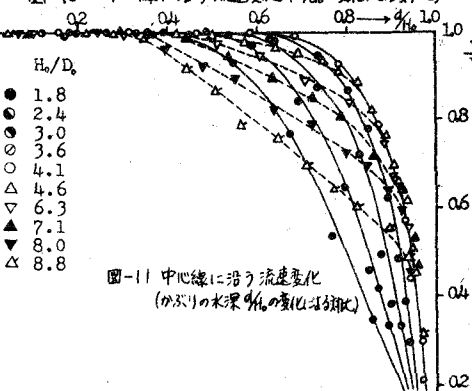
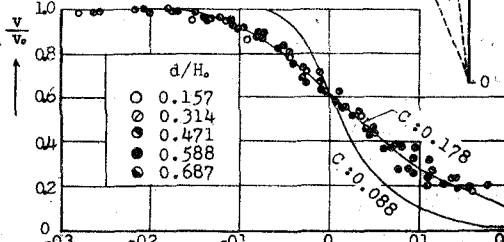


図-11 中心線に沿う流速変化 (かぶりの水深 d の変化による対比)



($C=0.088$ は H. Rouse による理想噴流の場合) ($x - D_0/2$)/ d
 図-12 鉛直方向流速分布 (Core の存在する領域について)

5. 鉛直方向流速分布: H. Rouse によれば流速分布形式を Gauss 分布曲線と仮定し次式の σ とく与之たす。

$$v/v_0 = \exp(-x^2/2\sigma^2), \quad \text{すなわち } \sigma = Cd \quad (8)$$

更に jet の断面で運動量が保存されるとして分布形式を (9)(10) 式の σ とく決めていく。

$$v/v_0 = \exp[-(x + Cd - D_0/2)^2/2(Cd)^2] \quad (A \text{ 領域}) \quad (9)$$

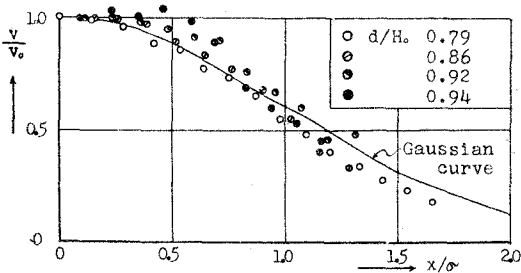


図-13 鉛直方向流速分布 (水面に近い領域について)

$$v/v_0 = (D_0/2Cd) \exp[-x^2/2(Cd)^2] \quad (C \text{ 領域}) \quad (10)$$

前節に述べた縮小 core での流速を確める意味で、 $H_0/D_0 = 4.0$ (理想噴流の A 領域先端付近に相当) につき縮小 core 先端以下の水域での流速分布の測定値 ($d/H_0 = 0.687$ 以下 data) を (9) 式の形で整理したのが 図-12 である。測定値は $C = 0.178$ とした場合の (9) 式によく一致し、(7) 式を用いて逆算した dc より $dc/H_0 = 0.70$ を得る。これは 図-9 あるいは 図-11 における流速減少率ともよく一致する。すなわち、縮小 core の存在領域では理想噴流の A 領域のごとく取扱うことが出来、ここでは jet の方向に運動量が保存され流速分布は力学的に相似であると考えられる。縮小 core の上方水域での流速分布の測定値を $C = 0.178$ として (8) 式で整理したのが 図-13 でここでは Gauss 分布に従わない。

6. 水平方向流速分布: 測定値の一例を 図-14 に示す。水平方向流速は hump から遠ざかるに従って表層流速の卓越した極めて速度勾配の大きい shear flow となる。

7. 圧力分布: 傾斜流が観測される hump 域では明らかに圧力勾配が存在し、 ρ が一定ならば静圧分布は非静水圧的である。中心線に沿う圧力の測定値を示したのが 図-15 であり、水面下 20~30% では静水圧分布をなす。図-16 は約 70 本の圧力測定値をもとに描いた等圧力線である。このような非静水圧の場での噴流拡散は momentum flux が一定でなく流速分布は簡単には規定されない。

謝辞: この実験研究を進めるに当たり、終始適切な助言をいただいた室田明教授に心から謝意を表する次第である。また実験と資料整理に熱心な協力を得た本学技術員川野誠君にも感謝する。終りにこの研究は文部省科研費によるものであることを付記する。

- 参考文献: 1) 例 218 "水理公式集" P.234 [La Houille Blanche no.6 1965.]
 2) B. Hunt, S.T. Hsu "Configuration of the Free Surface above a Vertical Jet"
 3) H. Rouse and others "Diffusion of Submerged Jets" Pro. A.S.C.E. vol.74 1948

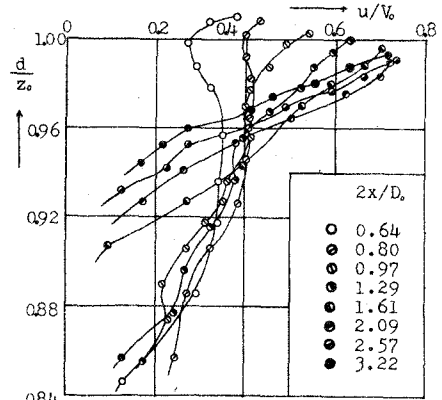


図-14 水平方向流速分布 (一例) $z_0/D_0: 4.0$
 $V_0: 51.2 \text{ cm/sec}$

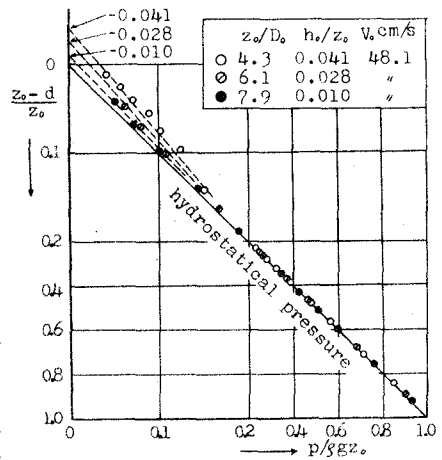
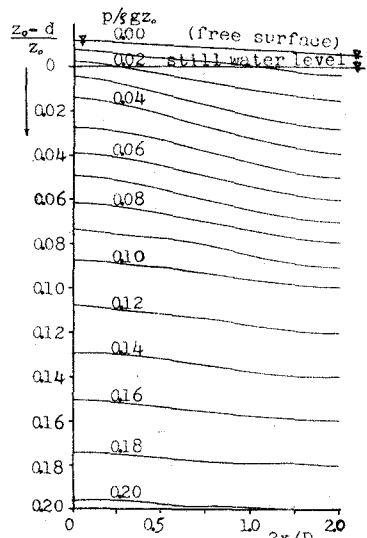


図-15 中心線に沿う圧力分布



$z_0/D_0: 4.0$ $M/\rho g z_0: 2.41 \times 10^{-3}$
 図-16 水表面下の圧力分布